



HPLC-FLD 法测定欧前胡素对肿瘤耐药细胞悬液中罗丹明 123 含量的影响^{*}

李志勇¹, 汪春燕², 汤涛², 梁新丽², 祝婧云^{1**}

(1. 南昌大学 第四附属医院药学部,南昌 330003; 2. 江西中医药大学,南昌 330004)

摘要 目的:建立高效液相色谱 - 荧光检测法 (HPLC-FLD) 测定肿瘤耐药细胞中罗丹明 123 (Rho 123) 的浓度,并采用建立的检测方法考察欧前胡素对 Rho 123 含量的影响。方法:用乙腈沉淀法进行蛋白沉淀。色谱柱为 Phenomenex-C₁₈ (250 mm × 4.6 mm, 5 μm), 柱温为 40 °C, 流动相为乙腈 -1% 三乙胺 (磷酸调至 pH 为 3.0) (28:72), 流速为 1 mL · min⁻¹, 激发波长 485 nm, 发射波长 546 nm, 进样量为 20 μL。结果:Rho 123 标准曲线为 $Y=1.199 \times X-4.003$ ($R^2=0.9997$), 其质量浓度在 9.375~600 ng · mL⁻¹ 范围内线性良好, 定量下限为 1.172 ng · mL⁻¹, 日内与日间精密度均小于 10%, 绝对回收率为 70.6%~80.6%, 相对回收率为 91.0%~106.7%, 长期、短期以及反复冻融稳定性良好。2、5、10 μg · mL⁻¹ 欧前胡素组的 A2780/Taxol 与 K562/ADR 细胞内的蓄积倍数分别为 2.79、3.53、4.18 与 2.18、2.36、2.39。结论:本方法专属性强, 灵敏度高, 简单可靠, 适用于检测肿瘤耐药细胞悬液中 Rho 123 的浓度, 可用于细胞中 P- 糖蛋白 (P-glycoprotein, P-gp) 的活性和功能评价。欧前胡素对肿瘤耐药细胞中 P-gp 介导的 Rho 123 外排具有抑制作用。

关键词: 罗丹明 123 (Rho123); 高效液相色谱 - 荧光检测法; 欧前胡素; P- 糖蛋白; 肿瘤

中图分类号: R 917

文献标识码: A

文章编号: 0254-1793(2019)09-1567-07

doi: 10.16155/j.0254-1793.2019.09.04

Effect of imperatorin on the content of Rho 123 in the drug-resistant cell suspension of tumor by HPLC-FLD^{*}

LI Zhi-yong¹, WANG Chun-yan², TANG Tao², LIANG Xin-li², ZHU Jing-yun^{1**}

(1. Department of Pharmacy, the Fourth Affiliated Hospital of Nanchang University, Nanchang 330003, China;

2. Jiangxi University of Traditional Chineses Medicine, Nanchang 330004, China)

Abstract **Objective:** To establish a high performance liquid chromatography-fluorescence method for determining the concentration of Rho 123 in tumor multidrug resistance cell lines, and investigating the effect of imperatorin on Rho 123 content in cell. **Method:** The Rho 123 were extracted from cell lysis with protein precipitation by acetonitrile solution and supernatant separation was performed on Phenomenex-C₁₈ (250 mm × 4.6 mm, 5 μm) with temperature at 40 °C. The elution with the mobile phase consisting of aqueous solution (1% triethylamine,

* 江西省自然科学基金项目 (20161ACB21020)

** 通信作者 Tel: 13576922043; E-mail: 271174521@qq.com

第一作者 Tel: 13677085959; E-mail: 11058579@qq.com



adjusted to pH 4.0 with phosphoric acid) and acetonitrile at a flow rate of $1.0 \text{ mL} \cdot \text{min}^{-1}$ were applied for the chromatographic separation and the injection volume was $20 \mu\text{L}$. The excitation wavelength was 485 nm, and the emission wavelength was 546 nm. **Results:** Methodological experiment results showed that the standard curve was $Y=1.1993X-4.00369$ ($R^2=0.9997$), and the linear relationship was good in the range of $9.375\text{--}600 \text{ ng} \cdot \text{mL}^{-1}$. The lowest limit of quantification (LLOQ) of Rho 123 was $1.172 \text{ ng} \cdot \text{mL}^{-1}$. The intra-day and inter-day RSDs were both less than 10%. The absolute recovery rate was between 70.6% and 80.6%, the extraction recovery was between 91.0% and 106.7%. Rho 123 was stable in long-term, short-term and repeated freeze-thaw conditions. The accumulation ratios of A2780/Taxol and K562/ADR cells in the 2, 5, and $10 \mu\text{g} \cdot \text{mL}^{-1}$ imperatorin groups were 2.79, 3.53, 4.18, and 2.18, 2.36, and 2.39, respectively. **Conclusion:** The method has strong specificity, high sensitive, simple and reliable, and is suitable for detecting the concentration of Rho 123 in cell suspension. It can provide a rapid and convenient method for evaluating the activity and function of P-glycoprotein (P-gp) in cells. Imperatorin can inhibit the excretion of Rho 123 which mediated by P-gp.

Keywords: Rhodamine 123 (Rho 123); HPLC-FLD; imperatorin; P-glycoprotein; tumor

罗丹明 123 (Rho 123) 是罗丹明系列染料中的一种,因其分子结构呈刚性平面状且具有较高的荧光量子产率,故荧光较强,是一种常见的荧光探针物质^[1-2]。Rho 123 是 P-glycoprotein, P-gp 的经典底物,能够透过细胞膜,选择性地染色活细胞线粒体,因此 Rho 123 可广泛作用于 P-gp 功能及活性评价^[3]、线粒体膜电位^[4]、细胞凋亡^[5]以及口服药物的吸收和分泌影响^[6-7]。目前,国内外检测 Rho 123 主要采用流式细胞仪检测法^[8]、荧光分光光度检测法^[9]、HPLC 法^[10]、LC-MS 法^[11]、LC-MS/MS 法^[12]、微板读数器法^[13]等,费用较高且均存在灵敏度低、操作烦琐费时等缺点。本研究旨在建立一种灵敏度高特异性强,样品处理简便的 HPLC- 荧光检测法,测定细胞悬液中 Rho 123 的蓄积,从而满足迅速测定对 P-gp 功能及活性评价、线粒体膜电位、细胞凋亡以及口服药物的吸收和分泌影响等研究的需要,为药代动力学、药物相互作用、肿瘤的发生以及多药耐药等的研究提供理论依据^[12]。

欧前胡素是来源于白芷、独活、当归等中药种的 1 种呋喃型香豆素成分,具有抗菌、抗病毒、抗肿瘤等生物活性^[13-14],课题组研究发现,欧前胡素可抑制 P-gp 介导如紫杉醇、硫酸长春新碱肿瘤药物外排,增加紫杉醇等药物的肠道转运及生物利用度^[15-16]。Rho 123 是 P-gp 底物,细胞悬液中 Rho 123 含量可反映 P-gp 的外排及筛选抑制 P-gp 功能的成分。因此,本文拟通过对 P-gp 底物 Rho 123 含量的

测定,探讨欧前胡素增加紫杉醇等药物的肠道转运是否与抑制 P-gp 外排功能有关。

1 实验材料与仪器

1.1 细胞

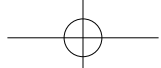
人卵巢癌细胞株 (A2780)、人卵巢癌耐紫杉醇细胞株 (A2780/Taxol) 及人白血病细胞株 K562、人白血病耐阿霉素细胞株 K562/ADR 均购于上海歌凡生物科技有限公司。

1.2 试剂

Rho 123 对照品 (Sigma 公司, 批号 1012320000) ; 对照品欧前胡素 (批号 110826-200712)、盐酸维拉帕米 (批号 100223-200102), 中国食品药品检定研究院; 考马斯亮蓝 G-250 (碧云天生物科技研究所); 细胞裂解液 (Solarbio, 北京索莱宝科技有限公司); 牛血清白蛋白 (Solarbio, 北京索莱宝科技有限公司); RPMI1640 培养基 (Hyclone, 赛默飞世尔生物化学制品); 胎牛血清 (Gibco, 赛默飞世尔生物化学制品); 青霉素 - 链霉素 (Solarbio, 北京索莱宝科技有限公司); 0.25%EDTA- 胰蛋白酶 (Gibco, 赛默飞世尔生物化学制品); Hank's Balanced Salt Solution (HBSS) (without Magnesium with Calcium, Solarbio, 北京索莱宝科技有限公司); 乙腈 (色谱纯, TEDIA 公司); 三乙胺 (分析纯, 南京化学试剂有限公司); 磷酸 (分析纯, 上海化学试剂有限公司)。

1.3 仪器

Agilent 1260 高效液相色谱仪与 Agilent 1200 荧光检测器, 安捷伦科技有限公司; PHS-3C 型 pH



计,上海精密科学仪器公司;多功能酶标仪(Tecan, Spark 10M);高速冷冻离心机(Sigma公司);BS124S型电子分析天平(Sartorius公司)。

2 实验方法与结果

2.1 HPLC-FLD 测定肿瘤细胞中 Rho 123 含量方法的建立

2.1.1 检测条件

色谱柱: Phenomenex-C₁₈ 柱(5 μm, 250 mm × 4.6 mm);流动相:乙腈-1%三乙胺(磷酸调 pH=3.0)(28:72),流速:1 mL·min⁻¹;柱温:40 °C;进样量:20 μL;FLD 条件:激发波长485 nm,发射波长546 nm。

2.1.2 对照品溶液的制备

精密称取 Rho 123 对照品 6.0 mg 至 25 mL 棕色量瓶中,用乙腈定容,摇匀后即得质量浓度为 240 μg·mL⁻¹ 的 Rho 123 对照品储备液。采用逐级稀释法分别加入乙腈稀释 Rho 123 储备液,配制成质量浓度分别为 30、15、7.5、3.75、1.875、0.937 5、0.468 8 μg·mL⁻¹ 的一系列对照品溶液,置 4 °C 保存。

2.1.3 样品处理

2.1.3.1 A2780 与 A2780/Taxol 细胞培养 A2780 与 A2780/Taxol 细胞培养在含 10% 的胎牛血清和 100 U·mL⁻¹ 青霉素、链霉素的 RPMI1640 培养基中,1×10⁶ 个·mL⁻¹ 接种于 6 孔板中,待细胞在板中生长融合至 70%~80%,弃去完全培养基,用冰冷的 Hank's 平衡盐溶液(HBSS)清洗 2 次,加入 HBSS 500 μL,用细胞刮轻轻将细胞刮下,置于 1.5 mL 的 EP 管中,冻存于 -80 °C 冰箱中以破碎细胞。反复冻融 3 次后,12 000 r·min⁻¹ 离心 10 min,取上清液。

A2780/Taxol 细胞株用含终质量浓度为 100 0 ng·mL⁻¹ Taxol 的完全培养基维持其耐药性,实验前无药培养 2 周。

2.1.3.2 K562 与 K562/ADR 细胞培养 K562 与 K562/ADR 细胞培养在含 10% 的胎牛血清和 100 U·mL⁻¹ 青霉素、链霉素的 RPMI1640 培养基中,余下操作同“2.1.3.1”项下。

K562/ADR 细胞株用含终质量浓度为 1 000 ng·mL⁻¹ ADR 的完全培养基维持其耐药性,实验前无药培养 2 周。

2.1.3.3 标准曲线及质控细胞悬液样品的处理 取空白的细胞裂解液 180 μL,置于 1.5 mL 的 EP 管中,加入相应质量浓度的 Rho 123 对照品溶液 20 μL,再

与 300 μL 的乙腈混匀,涡旋 3 min, 140 000 r·min⁻¹ 离心 20 min 后取上清液,将 250 μL 上清液与 500 μL 的流动相混匀,涡旋 3 min,以 0.22 μm 的微孔滤膜过滤,用于 HPLC 分析。

2.1.3.4 待测细胞悬液样品的处理 取待测的肿瘤细胞的裂解液 200 μL 与 300 μL 的乙腈混匀,涡旋 3 min, 14 000 r·min⁻¹ 离心 20 min 后取上清液,将 250 μL 上清液与 500 μL 流动相混匀,涡旋 3 min,以 0.22 μm 的微孔滤膜过滤,用于 HPLC 分析。

2.1.4 方法学考察

本文考察了 4 种细胞的方法学,分别为 K562、K562/ADR、A2780、A2780/Taxol,结果表明各细胞间无显著差异,因此,本文仅附 K562/ADR 细胞的方法学研究结果。

2.1.4.1 专属性 分别将 3 份不同来源的空白细胞裂解液、Rho 123 细胞对照品标准液、给予 Rho 123 细胞裂解液样品,按“2.1.3”项下方法处理并进行 HPLC 分析。在上述色谱条件下,测得空白细胞组溶液、对照品溶液、细胞样品溶液的色谱图,如图 1 所示:分析物 Rho 123 有较大的色谱峰,不受杂峰的干扰,基线噪音小,方法专属性良好,保留时间约为 9.92 min,具有良好的特异性和分离度。

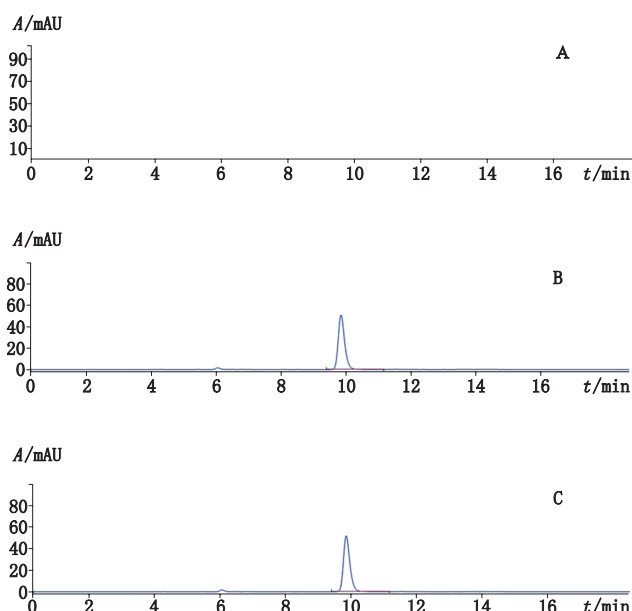
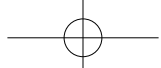


图 1 Rho 123 空白细胞组溶液(A)、Rho 123 对照品溶液组(B)、给予 Rho 123 的细胞样品溶液组(C)专属性 HPLC 色谱图

Fig. 1 Specificity HPLC of solution of blank cell (A), Rho 123 reference substances (B), and solution of cell sample with Rho 123 (C)



2.1.4.2 标准曲线与定量下限 细胞悬液中 Rho123 在质量浓度为 $3.516 \sim 600 \text{ ng} \cdot \text{mL}^{-1}$ 内线性关系良好, 得到的标准曲线:

$$Y=1.1993X-4.0036 \quad R^2=0.9997$$

采用逐级稀释法, 检测到 Rho 123 的定量下限为 $1.172 \text{ ng} \cdot \text{mL}^{-1}$ ($S/N=10.1$), 检测下限 $0.367 \text{ ng} \cdot \text{mL}^{-1}$ ($S/N=3.1$)。

2.1.4.3 精密度试验 连续 3 d 用空白细胞液配制低、中、高质控样品即含 Rho123 质量浓度为 3.516 、 75 、 $600 \text{ ng} \cdot \text{mL}^{-1}$ 系列浓度标准样品各 6 份, 进行处理并分析, 计算其浓度, 考察日间和日内精密度。质控样品与标准曲线同批测定, 通过随行标准曲线来计算质控样品的浓度。日内平行测定 6 次, 计算日内精密度; 每日测定 1 次, 连续 3 d, 计算日间精密度。结果 Rho 123 的日内精密度为 $1.4\% \sim 4.9\%$, 日间精密度为 $2.8\% \sim 7.4\%$, 小于 10% , 重复性好, 符合要求。

2.1.4.4 回收率试验 用空白细胞液配制含 Rho 123

低、中、高的质控样品各 6 份, 然后用乙腈配制与 Rho 123 低、中、高质控相等浓度的对照质控样品各 6 份, 进行处理, 各取 $20 \mu\text{L}$ 进行 HPLC 检测, 记录色谱图。结果见表 1。

表 1 回收率结果 ($\bar{x} \pm SD, n=3$)

Tab. 1 Results of recovery

浓度 (concentration)/ ($\text{ng} \cdot \text{mL}^{-1}$)	绝对回收率 (absolute recovery) /%		相对回收率 (relative recovery) /%	
	$\bar{x} \pm SD$	RSD/%	$\bar{x} \pm SD$	RSD/%
3.516	71.7 ± 9.16	12.8	97.5 ± 9.54	9.8
75	70.6 ± 4.71	6.7	91.0 ± 6.83	7.5
600	80.6 ± 2.92	3.6	106.7 ± 5.19	4.9

2.1.4.5 稳定性考察 用空白细胞液配制含 Rho123 低、中、高的质控样品各 3 份, 分别测定样品在室温条件下放置 24 h, -80°C 储存 15 d 以及 3 次冷冻-解冻循环后的稳定性(每次在 -80°C 冰箱中放置 12 h)。结果见表 2。表明样品稳定性均良好。

表 2 稳定性结果 ($n=3$)

Tab. 2 Results of stability tests

浓度 (concentration)/ ($\text{ng} \cdot \text{mL}^{-1}$)	制备前对照 (pre-preparation control)		冻融 (freeze-thaw)		室温 24 h (room temperature for 24 h)		长期冷冻 (15 d, -80°C) [long-term freezing (15 d, -80°C)]	
	$\bar{x} \pm SD$	RSD/%	$\bar{x} \pm SD$	RSD/%	$\bar{x} \pm SD$	RSD/%	$\bar{x} \pm SD$	RSD/%
3.516	3.37 ± 0.31	9.2	3.29 ± 0.31	9.4	3.41 ± 0.33	9.7	3.18 ± 0.27	8.5
75	76.63 ± 0.44	0.57	77.34 ± 0.6	0.78	76.31 ± 0.72	0.94	72.46 ± 0.47	0.65
600	601.73 ± 1.17	0.19	595.81 ± 2.74	0.46	600.30 ± 0.58	0.96	583.89 ± 0.98	0.17

2.2 欧前胡素对肿瘤细胞内 Rho123 含量的影响

按“2.1.3”项下方法培养各细胞, 并接种于 6 孔细胞培养板中, 过夜后, 分别给予不同浓度的药物溶液或 HBSS, 置于 $37^\circ\text{C}, 5\% \text{CO}_2$ 细胞培养箱中孵育, 60 min 后置于冰上终止反应(约 10 min), $1000 \text{ r} \cdot \text{min}^{-1}$, 4°C 条件下离心 5 min, 弃去上清液, 加入冰冷的 HBSS 清洗 2 次。每孔加入含 $5 \text{ }\mu\text{g} \cdot \text{mL}^{-1}$ Rho 123 的 HBSS 液 1 mL, 置于 $37^\circ\text{C}, 5\% \text{CO}_2$ 细胞培养箱中孵育 60 min, 结束后, 置于冰上终止反应(约 10 min), 弃去上清液, 加入冰冷的 HBSS 清洗 2 次。加

入 HBSS 500 μL 并用细胞刮轻轻地将细胞刮下来, 置于 1.5 mL EP 管中, 冻存于 -80°C 冰箱中以破碎细胞。反复冻融 3 次, $12000 \text{ r} \cdot \text{min}^{-1}$ 离心 10 min 后取上清液。按照“2.1.3”项下的处理方法处理样品, 同时取适量的细胞悬液按照 Bradford 蛋白浓度测定方法进行蛋白定量。将每管细胞内的 Rho 123 浓度与相应每管的总蛋白含量相除, 用以消除每管细胞数量所带来的误差。实验分组及加样顺序见表 3。欧前胡素对不同肿瘤细胞中 Rho 123 含量的影响结果见表 4、5。

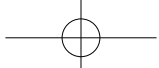


表 3 不同浓度的欧前胡素对肿瘤细胞内 Rho 123 的蓄积实验分组

Tab. 3 Groups for concentration-dependency of the effects of imperatorin on storage experiment of Rho 123 on cancer cells

组别 (group)	加样顺序 (sample addition order)
阴性对照组 (negative control group)	① 1.0 mL 细胞悬液 (cell suspension) → ② 1.0 mL HBSS → ③ 10 μL Rho 123 (500 μg · mL ⁻¹)
阳性对照组 (positive control group)	① 1.0 mL 细胞悬液 (cell suspension) → ② 1.0 mL 不同浓度的维拉帕米 (verapamil of different concentrations) → ③ 10 μL Rho 123 (500 μg · mL ⁻¹)
实验组 (experience group)	① 1.0 mL 细胞悬液 (cell suspension) → ② 1.0 mL 不同浓度的药液 (medicine of different concentrations) → ③ 10 μL Rho 123 (500 μg · mL ⁻¹)

表 4 欧前胡素对 A2780/Taxol 细胞内 Rho123 的蓄积影响 ($\bar{x} \pm SD$, n=6)

Tab. 4 Effect of imperatorin on Rhodamine 123 accumulation in A2780/Taxol cells

分组 (group)	Rho123	蓄积倍数 (accumulation multiplier)
A2780	0.2434 ± 0.012	4.75
A2780/Taxol	0.0512 ± 0.004 [▽]	1.00
A2780/Taxol+100 μg · mL ⁻¹ 维拉帕米 (verapamil)	0.2498 ± 0.028 [*]	4.88
A2780/Taxol+50 μg · mL ⁻¹ 维拉帕米 (verapamil)	0.2191 ± 0.021 [*]	4.28
A2780/Taxol+10 μg · mL ⁻¹ 欧前胡素 (imperatorin)	0.2139 ± 0.013 [*]	4.18
A2780/Taxol+5 μg · mL ⁻¹ 欧前胡素 (imperatorin)	0.1808 ± 0.009 [*]	3.53
A2780/Taxol+2 μg · mL ⁻¹ 欧前胡素 (imperatorin)	0.1426 ± 0.002 [*]	2.79

注 (note) : 与 A2780 细胞株对照组相比较, [▽] P<0.05; 与 A2780/Taxol 细胞株对照组相比较, ^{*} P<0.05 (compared with the control group of A2780 cell line, [▽] P<0.05, compared with the control group of A2780/Taxol cell line, ^{*} P<0.05)

表 5 欧前胡素对 K562/ADR 细胞内 Rho123 的蓄积影响 ($\bar{x} \pm SD$, n=6)

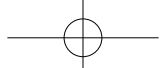
Tab. 5 Effect of imperatorin on Rhodamine 123 accumulation in K562/ADR cells

分组 (group)	Rho123	蓄积倍数 (accumulation multiplier)
K562	0.8854 ± 0.022	3.47
K562/ADR	0.2549 ± 0.025 [▽]	1.00
K562/ADR+100 μg · mL ⁻¹ 维拉帕米 (verapamil)	0.6174 ± 0.017 [*]	2.42
K562/ADR+50 μg · mL ⁻¹ 维拉帕米 (verapamil)	0.5661 ± 0.026 [*]	2.22
K562/ADR+10 μg · mL ⁻¹ 欧前胡素 (imperatorin)	0.6105 ± 0.042 [*]	2.39
K562/ADR+5 μg · mL ⁻¹ 欧前胡素 (imperatorin)	0.6032 ± 0.054 [*]	2.36
K562/ADR+2 μg · mL ⁻¹ 欧前胡素 (imperatorin)	0.5545 ± 0.038 [*]	2.18

注 (note) : 与 K562 细胞株对照组相比较, [▽] P<0.05; 与 K562/ADR 细胞株对照组相比较, ^{*} P<0.05 (compared with the control group of K562 cell line, [▽] P<0.05, compared with the control group of K562/ADR cell line, ^{*} P<0.05)

A2780/Taxol 与 A2780 相比, 细胞内 Rho123 含量明显降低, 表明 A2780/Taxol 耐药性形成, A2780/Taxol 细胞株的 P-gp 的高表达将进入细胞内的 Rho123 更多地排出细胞外。在欧前胡素的作用下,

Rho123 在 A2780/Taxol 细胞内的蓄积情况出现改变, 表现为随着欧前胡素浓度的增加, Rho 123 的蓄积逐渐增加, 外排逐渐减少。2、5、10 μg · mL⁻¹ 欧前胡素组的 A2780/Taxol 细胞内的蓄积倍数分别为 2.79、3.53、



4.18,且各组与 A2780/Taxol 阴性对照组相比具有统计学意义($P<0.05$),提示欧前胡素具有增加 A2780/Taxol 细胞内 Rho 123 蓄积的作用,且与欧前胡素的浓度相关,但作用能力稍低于维拉帕米。

K562/ADR 与 K562 相比,细胞内 Rho 123 含量明显降低,表明 K562/ADR 耐药性形成,K562/ADR 细胞株的 P-gp 的高表达将进入细胞内的 Rho 123 更多地排出细胞外。在欧前胡素的作用下,Rho 123 在 K562/ADR 细胞内的蓄积情况出现明显变化,随着欧前胡素浓度的增加,Rho 123 的蓄积逐渐增加,外排逐渐减少。2、5、10 $\mu\text{g} \cdot \text{mL}^{-1}$ 欧前胡素组的 K562/ADR 细胞内的蓄积倍数分别为 2.18、2.36、2.39,且各组与 K562/ADR 阴性对照组相比具有统计学意义($P<0.05$),提示欧前胡素具有增加 K562/ADR 细胞内 Rho 123 蓄积的作用和抑制 P-gp 外排的作用,且与欧前胡素的浓度相关。

3 讨论

本研究采用 HPLC- 荧光检测法测定细胞悬液中 Rho 123 的蓄积,解决了流式细胞仪检测法费用昂贵,荧光分光光度法灵敏度低、数据偏差较大、重现性差,LC-MS 与 LC-MS/MS 法操作烦琐的问题,可在大多数实验室普及。

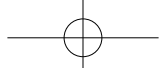
根据 Rho 123 分子结构呈刚性平面状且具有较高的荧光量子产率,可使其荧光较强^[1-2],采用 HPLC- 荧光检测器测定 Rho 123 在细胞内的蓄积影响,能够消除 HPLC 灵敏度有限的劣势,且该检测器较为普及,具有较高的实用价值。目前,常用的蛋白沉淀剂有甲醇、乙腈、乙酸乙酯以及三氯甲烷。本实验通过考察甲醇、乙腈对细胞裂解液混合条件下 Rho 123 提取回收率的影响,结果表明使用乙腈沉淀蛋白的能力较甲醇更高,回收率在 96.4% 以上,符合样本的测定要求。本方法成功用于研究细胞内 Rho 123 的蓄积影响,表现为随着欧前胡素浓度的增加,Rho 123 的蓄积逐渐增加,外排逐渐减少,故本方法能够满足对 P-gp 功能及活性评价、线粒体膜电位、细胞凋亡以及口服药物的吸收和分泌影响等研究的需要,为药代动力学、药物相互作用、肿瘤的发生以及多药耐药等的研究提供理论依据。

化学治疗在恶性肿瘤的综合治疗中占有非常重要的地位,与手术治疗、放射治疗一起,成为恶性肿瘤治疗的 3 把利剑,但临幊上肿瘤的多药耐药(multidrug resistance, MDR)对疗效的影响十分严重,

通过跨膜转运蛋白的外排泵作用,可以降低多药耐药。P-gp 是重要的外排转运蛋白,许多一线临幊广泛使用的药物均受其影响,导致肿瘤的多药耐药的发生,如多柔比星、紫杉烷类、长春花生物碱类等。近年来研究发现,中药活性成分在逆转多药耐药方面具有很好的疗效,以中药为研究对象,筛选 P-gp 逆轉剂引起了研究者的广泛重视。结合前期研究结果及本次实验发现,欧前胡素具有抑制 P-gp 外排药物的功能,其作用机理尚需进一步深入研究。

参考文献

- [1] ANNAERT P, BROUWER KLR. Assessment of drug interactions in hepatobiliary transport using rhodamine 123 in sandwich-cultured rat hepatocytes [J]. Drug Metab Dispos, 2005, 33(3): 388
- [2] TANG FX, HUI OY. Bidirectional transport of rhodamine 123 and Hoechst 33342 fluorescence probes of the binding sites on P-glycoprotein across MDCK-MDR1 cell monolayers [J]. J Pharm Sci, 2004, 93(5): 1185
- [3] 张圣村,马敏,徐丽丽.阿帕替尼逆轉 P-gp 转运体介导的乳腺癌化疗多药耐药性的作用及其机制[J].肿瘤防治研究,2018,45(4):210
- [4] ZHANG SC, MA M, XU LL. Reversal effect of apatinib on P-gp-mediated multidrug resistance of human breast cancer and its mechanisms [J]. Cancer Res Prev Treat, 2018, 45(4): 210
- [5] 毕星宇,张栎栎,朱鹏飞,等.体外操作对人卵母细胞线粒体膜电位影响的研究[J].中华生殖与避孕杂志,2017,37(5):389
- [6] BI XY, ZHANG DD, ZHU PF, et al. Effect of *in vitro* manipulation on mitochondrial membrane potential of human oocytes [J]. Chin J Reprod Contracep, 2017, 37(5): 389
- [7] 任改艳,孙阿宁,张晶晶,等.NF-κB 在细胞凋亡中调节作用的研究进展[J].中国药理学与毒理学杂志,2015,29(2):323
- [8] REN GY, SUN AN, ZHANG JJ, et al. Advances in roles of NF-κB in regulating pathways of apoptosis [J]. Chin J Pharmacol Toxicol, 2015, 29(2): 323
- [9] LIN Y, KATSUMI H. Effects of labrasol and other pharmaceutical excipients on the intestinal transport and absorption of rhodamine 123 a P-glycoprotein substrate in rats [J]. Biol Pharm Bull, 2007, 30(7): 1301
- [10] SHEN Q, LIN YL, HANDA T, et al. Modulation of intestinal P-glycoprotein function by polyethylene glycols and their derivatives by *in vitro* transport and *in situ* absorption studies [J]. Int J Pharm, 2006, 313(1-2): 49
- [11] 周勇,钟文彬,陈凯,等. Disulfiram 联合 Cu 通过上调 TNF-α 表达及蓄积 ROS 诱导白血病干细胞凋亡 [J].第三军医大学学报,2015,37(10):984
- [12] ZHOU Y, ZHONG WB, CHEN K, et al. Disulfiram combined with copper induces leukemia stem cell apoptosis through TNF-α/ROS



- pathway [J]. Acta Acad Med Mil Tert, 2015, 37(10): 984
- [9] FONTAINE M, ELMQUST WF, MILLER DW. Use of rhodamine123 to examine the functional activity of P-glycoprotein in primary cultured brain microvessel endothelial cell monolayers [J]. Life Sci, 1996, 59(18): 1521
- [10] 唐霞, 辛华雯, 欧阳萌, 等. 高效液相色谱法测定大鼠血浆罗丹明123的浓度 [J]. 医药导报, 2017, 36(9): 971
TANG X, XIN HW, OUYANG M, et al. Determination of Rhodamine 123 in rat plasma by high performance liquid chromatography [J]. Her Med, 2017, 36(9): 971
- [11] SMALLEY J, KADIYALA P, XIN B, et al. Development of an on-line extraction turbulent flow chromatography tandem mass spectrometry method for cassette analysis of Caco 2 cell based bi-directional assay samples [J]. J Chromatogr B, 2006, 830(2): 270
- [12] 常媛媛, 魏静瑶, 魏涵, 等. LC-MS/MS 法测定细胞悬液中罗丹明123的浓度 [J]. 中国临床药理学杂志, 2018, 34(8): 979
CHANG YY, WEI JY, WEI H, et al. Determination of rhodamine 123 in cell culture system by LC-MS/MS [J]. Chin J Clin Pharmacol, 2018, 34(8): 979
- [13] CHOOCHUAY K, CHUNHACHA P, PONGRAKHANANON V, et al. Imperatorin sensitizes anoikis and inhibits anchorage-independent growth of lung cancer cells [J]. J Nat Med, 2013, 67(3): 599
- [14] 黄志平, 邵立龙, 阮阳平. 欧前胡素对顺铂的骨肉瘤细胞抗肿瘤作用的增效作用 [J]. 中国现代应用药学, 2015, 32(10): 1193
HUANG ZP, SHAO LL, RUAN YP. Anti-tumor effect and mechanism of imperatorin enhances the cytotoxicity of cisplatin osteosarcoma cells [J]. Chin J Mod Appl Pharm, 2015, 32(10): 1193
- [15] 管雪静, 余世平, 梁新丽, 等. 白芷中 10 种呋喃型香豆素对长春新碱肠道转运的影响 [J]. 中草药, 2015, 46(14): 2117
GUAN XJ, YU SP, LIANG XL, et al. Effect of 10 furanocoumarins in Angelica dahurica on intestinal transport of vincristine [J]. Chin Tradit Herb Drugs, 2015, 46(14): 2117
- [16] 管咏梅, 朱卫丰, 梁新丽, 等. LC-MS 研究白芷中香豆素成分对多烯紫杉醇药代动力学的影响 [J]. 中国中药杂志, 2017, 42(24): 4870
GUAN YM, ZHU WF, LIANG XL, et al. Effect investigation of coumarin constituents in Angelica dahurica on pharmacokinetics of docetaxel by LC-MS [J]. China J Chin Mater Med, 2017, 42(24): 4870
- [17] DORABABU M, NISHIMURA A, PRABHA T, et al. Effect of cyclosporine on drug transport and pharmacokinetics of nifedipine [J]. Biomed Pharmacother, 2009, 63(9): 697

(本文于 2018 年 9 月 6 日收到)

《药物分析杂志》编辑部声明

本刊采用在线投稿系统, 作者稿件一经本刊审核通过, 确定录用, 可优先数字出版, 同时被中国学术期刊网络出版总库等数据库收录, 进入因特网提供信息服务, 并通过本刊在线系统等实现全文查询。本刊所付稿酬包含刊物内容上网服务报酬, 不再另付。

本刊未委托其他任何机构或个人代理征收稿件, 所有稿件须登录本刊网站 (<http://www.ywfxzz.cn>) 在线投稿, 并须提交加盖公章的单位介绍信。

本刊未委托其他任何机构或个人代收任何费用, 所有收费按本刊缴费通知办理。